

- 2 Mackowiak M, Chocyk A, Markowicz-Kula K, et al. Neurogenesis in the adult. *Pol J Pharmacol*, 2004, 56:673-687.
- 3 Bederson JB, Pitts LH, Tsuji M, et al. Rat middle cerebral artery occlusion: evaluation of the model and development of a neurologic examination. *Stroke*, 1986, 17:472-476.
- 4 李忠仁,主编. 实验针灸学. 北京:中国中医药出版社,2003. 327.
- 5 Yagita Y, Kitagawa K, Sasaki T, et al. Differential expression of Musashi1 and nestin in the adult rat hippocampus after ischemia. *J Neurosci Res*, 2002, 69: 750-756.
- 6 刘鹏翀,陆世铎,黄娅林,等. 成年鼠缺血性脑损伤诱导 nestin 的表达. *生理学报*,2002,54:294-299.
- 7 史冬梅,周畅,谢佐平. 神经干细胞有丝分裂过程中 nestin 表达变化. *神经解剖学杂志*,2003, 19:119-123.
- 8 Jin K, Minami M, Lan JQ, et al. Neurogenesis in dentate subgranular zone and rostral subventricular zone after focal cerebral ischemia in the rat. *Proc Natl Acad Sci USA*, 2001, 98:4710-4715.
- 9 Yagita Y, Kitagawa K, Ohtsuki T, et al. Neurogenesis by progenitor cells in the ischemic adult rat hippocampus. *Stroke*, 2001, 32:1890-1896.
- 10 Iwai M, Sato K, Omori N, et al. Three steps of neural stem cells development in gerbil dentate gyrus after transient ischemia. *J Cereb Blood Flow Metab*, 2002, 22:411-419.
- 11 Liu PC, Yang ZJ, Qiu MH, et al. Induction of CRMP-4 in striatum of adult rat after transient brain ischemia. *Acta Pharmacol Sin*, 2003, 24: 1205-1211.
- 12 Li Y, Chopp M. Temporal profile of nestin expression after cerebral ischemia in adult rat. *Brain Res*, 1999, 830:1-10.
- 13 郑青立,龚薇薇,王玲,等. 脑缺血再灌注损伤后神经细胞巢蛋白和干细跑因子基因表达. *中华物理医学与康复杂志*,2004, 26:589-591.
- 14 袁华,龙华,李玲. 康复训练对脑梗死大鼠皮质 S-100、GFAP 和 Nestin 表达的影响. *中华物理医学与康复杂志*,2003, 25:520-523.
- 15 李东培,汪华侨,姚志彬. 巢蛋白的表达模式及其功能. *解剖学研究*,2004,26:216-218.

(修回日期:2005-09-11)

(本文编辑:阮仕衡)

## · 研究快报 ·

### 运动训练对小鼠脑局灶缺血后脑源性神经营养因子 mRNA 表达水平的影响

高谦 吴宗耀 姚志彬 袁群芳

脑源性神经营养因子 (brain derived neurotrophic factor, BDNF) 在脑内分布广泛, 大脑皮层、海马及基底前脑是其主要分布区, 在基底前脑的胆碱能神经元及其末梢发现了 BDNF 的受体<sup>[1-3]</sup>。运动促进脑损伤后胆碱能神经元轴突的出芽再生, 可能与 BDNF 的增多有重要关系。本研究旨在探讨运动训练是否可使小鼠大脑中动脉闭塞 (middle cerebral artery occlusion, MCAO) 后 BDNF mRNA 表达水平发生改变。

#### 材料与方法

##### 一、材料

选雄性 C57 BL/6J 小鼠 26 只(由中山大学医学院动物实验中心提供), 体重为 20~30 g, 鼠龄为 3~5 个月。

##### 二、方法

###### (一) 动物分组和运动训练方法

按 Bederson 等<sup>[4]</sup>的方法, 建立小鼠 MCAO 模型, MCAO 术后第 3 天开始运动训练。随机将 26 只小鼠分为运动 I 组(9 只), 运动 II 组(9 只)及对照组(8 只)。运动 I 组每天于跑笼中训练 1 h, 共训练 90 d; 运动 II 组先于跑笼中运动 15 d, 停止运动 30 d, 再置于跑笼中运动 45 d, 每天训练 1 h, 其它处理与 I 组相同; 对照组每次置于跑笼中, 但跑笼不转动。90 d 后断头取

大脑。

#### (二) BDNF 基因 mRNA 表达的定量 RT-PCR 测定

1. 脑组织中 RNA 的提取: 小鼠 BDNF 引物是根据鼠神经细胞上 BDNF mRNA 全序列<sup>[5]</sup> ( gene bank accession no. X55573) 而设计的, 其序列为 F 5'-GGA TGA GGA CCA GAA GGT TCG-3', 其位点为 296~316; R 5'-ACC CTC ATA GAC ATG TTT GCG G-3', 其位点为 460~439, 由上海生工生物工程公司合成, 扩增长度为 164 bp, 使用浓度为 10 nmol/ml。脑组织中 RNA 的提取按 TRIzol Reagent 试剂盒说明书进行, 电泳得到 5S、18S、28S 总 RNA 条带(图 1)。同时用紫外分光光度计 (Pharmacia Ultraspec 2000) 测  $A_{260}$  和  $A_{280}$  的 OD 值 ( $OD = 40 \mu\text{g}/\text{ml} RNA$ ), 计算所提取的总 RNA 量, 并使每次  $A_{260}/A_{280}$  比值保持在 1.8 以上, 置于 -70℃ 下保存待测, 于 1 周内测定完毕。

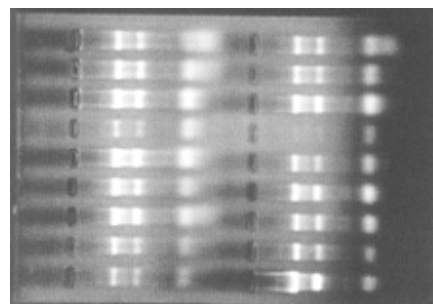


图 1 TRIzol 法提取的神经细胞内总 RNA 见 28S、18S、5S 三条带

作者单位:100853 北京,解放军总医院康复医学科(高谦);第三军医大学附属西南医院康复科(吴宗耀);中山大学医学院解剖教研室(姚志彬、袁群芳)

2. 逆转录(RT)-单链 cDNA 的合成:等量取上述每个标本总 RNA 2 μg, 分别逆转录成 cDNA。BDNF 反应体系(20 μl): 5×RT Reaction Buffer 2 μl, 10 mmol/L dNTP 1 μl, 上、下引物各 0.5 μl(12 pM), MMLV-逆转录酶 10 u(上海生工生物工程公司产品), 样品 RNA 2 μg, Rnasin 10 u, DEPC 处理的 dH<sub>2</sub>O 加至 10 μl。反应条件:37℃ 水浴下 60 min, 95℃ 下 5 min, 即逆转录成 cDNA, 作为模板, 于 -20℃ 下保存待测。

3. RT-PCR 反应: 分别取上述逆转录的产品 cDNA 10 μl 与 BDNF 引物作 PCR。反应体系: 模板 cDNA 10 μl, Taq DNA 聚合酶 1 μl, 5×RT Reaction Buffer 4 μl, 10 mmol/L dNTP 2 μl, 引物上游 0.5 μl、下游 1 μl 加水至 30 μl, 混匀后加入适量石蜡油, 离心数秒钟, 按下列条件扩增: 93℃ 预变性 3 min, 此后 93℃ 30 s → 57℃ 30 s → 72℃ 45 s, 共做 35 个循环后, 72℃ 延伸 5 min, 取反应管中 RT-PCR 产物 5 μl 与 1 μl 溴酚兰指示剂充分混匀后, 于 2% 琼脂糖凝胶上电泳(10 V/cm)10 ~ 30 min, 于凝胶成像及分析装置上观察结果。

4. RT-PCR 定量检测 cDNA 含量(即 mRNA 表达量): RT-PCR 割胶纯化, 严格按 Qiagen 公司纯化试剂盒(Qiaex II Gel, Extraction Kit)的说明书进行。纯化后的 RT-PCR 产物, 在紫外分光光度计上测 A<sub>260</sub> 的 OD 值(A<sub>260</sub> 的 1OD = 50 μg/ml cDNA), 测得 cDNA 浓度为 200 μg/ml, 取 5 μl(1 μg cDNA) 做标准曲线, 行系列的 10 倍稀释(10<sup>-3</sup> ~ 10<sup>-11</sup> μcDNA), 各样品同样亦取 5 μl 一起进行 PCR。PCR 的反应体系(20 μl): RT-PCR 产物 5 μl, 标准品行 10 倍系列稀释后亦各取 5 μl, Tag 酶 1.5 μl, 5×RT Reaction Buffer 6 μl, 10 mM dNTP 2 μl, 上、下游引物各 1 μl, 加水至 20 μl, 混匀后加入适量石蜡油离心数秒钟。按下列条件扩增: 93℃ 预变性 3 min, 然后 94℃ 45 s, 57℃ 45 s, 72℃ 1 min, 共做 30 个循环后, 72℃ 延伸 5 min, 取反应管中下层液相即 RT-PCR 产物 5 μl, 与 1 μl 溴酚兰指示剂充分混匀后, 于 2% 琼脂糖凝胶上电泳(10 V/cm)20 ~ 30 min, 见图 2,3。各样品条带的峰面积值均在标准品峰面积值范围之内, 用标准品的浓度和峰面积值在凝胶成像和分析装置上照相, 用 Gel Base/Gel Blot Support 软件对底片的电泳带行扫描分析。

### 三、统计学分析

用 SPLM 软件计算, 以标准品浓度与峰面积做标准曲线, 并进行曲线拟合, 选出最优曲线, 代入样本峰面积, 算出 cDNA 浓度, 即为 mRNA 初始表达量。用非参数多样本比较, Kruskal-Wallis 检验 3 组差别。用 Wilcoxon 检验做两两比较。

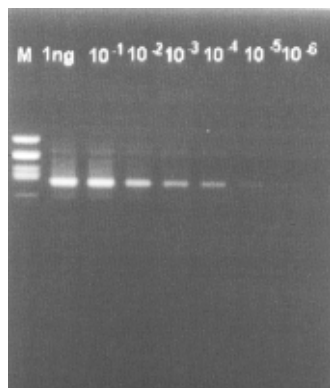


图 2 BDNF 基因标准品神经细胞内 RT-PCR 扩增产物

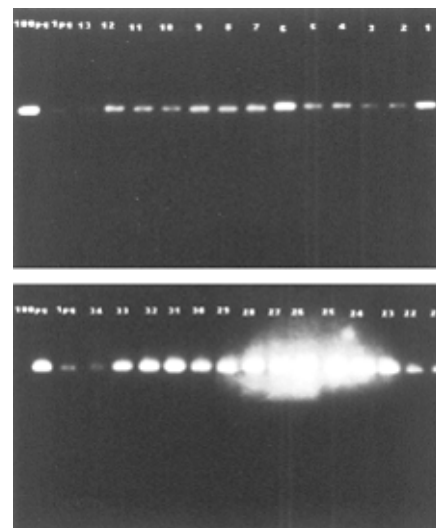


图 3 BDNF 样品神经细胞内 RT-PCR 扩增产物

### 结 果

做标准曲线后, 进行曲线拟合, 包含所有标品值的曲线为最拟合曲线, 即  $\ln y = a + b \ln(1000 - x)$ , [  $a = 14.442$ ,  $b = -2.667$ ,  $r = -0.8332$ ,  $P = 0.0199$  ], 见图 4。

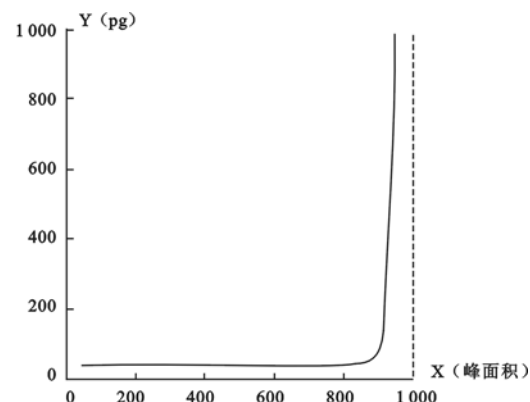


图 4 脑组织 BDNF mRNA 表达量的标准曲线

根据样本的峰面积, 算出 3 组 mRNA 的初始表达量, 详见表 1。样本间两两比较如表 2。

表 1 小鼠 MCAO 后脑组织 BDNF mRNA 表达水平的中位数与极差(pg mRNA/gm 总 RNA)

组 别	样本身数	中位数	极差
运动 I 组	9	1 833	3 583
运动 II 组	9	1 139	5 650
对照组	8	233	305

注: 经 Kruskal-Wallis 检验,  $H = 13.8$ ,  $P < 0.01$ , 3 组差异有统计学意义

表 2 样本间两两比较 Wilcoxon 检验结果

样本间两两比较	样本含量		平均秩和之差 $R_a' - R_b'$
	N <sub>a</sub>	N <sub>b</sub>	
运动 I 组与对照组	9	8	13.3
运动 II 组与对照组	9	8	10.9
运动 I 组与运动 II 组	9	9	3.1

注: 运动 I 组与对照组比较,  $P < 0.01$ ; 运动 II 组与对照组比较,  $P < 0.01$ ; 运动 I 组与运动 II 组比较,  $P > 0.05$

## 讨 论

我们的研究发现:在小鼠 MCAO 后 90 d,适量运动训练可以增加 MCAO 后小鼠大脑 BDNF mRNA 表达水平,有利于小鼠 MCAO 的功能恢复。运动 II 组与对照组差异有统计学意义,而与运动 I 组差异无统计学意义,说明 MCAO 后,停止一段时间训练,再次进行运动训练,仍能提高 BDNF mRNA 表达水平。

有研究提示<sup>[6]</sup>,BDNF 对神经元的存活与功能维持有重要作用。Neeper 等<sup>[7]</sup>认为:运动可增加海马、皮层的 BDNF mRNA 的表达水平。Ghosh 等<sup>[6]</sup>用鼠培养的胚胎神经元进行研究后发现:内源性 BDNF 是皮层神经元的营养因子,电压敏感性钙通道的激活可促进 BDNF 的表达,有利于皮层神经元的存活。也就是说,皮层神经元的存活是活动依赖型(activity-dependent),它的基础是神经营养因子,BDNF 是其中重要的一员。众所周知,BDNF 在皮层广泛表达<sup>[3]</sup>,神经元活动可调节它的分泌。外界刺激与运动训练使神经元的活动增加,代谢增强,有利于神经元的存活及可塑性。近年,对神经营养因子与神经元的可塑性的关系有了更深入的认识。对视觉的研究发现,BDNF 受生理性刺激的调节,如视觉冲动。用毒素或将动物置于黑暗中阻滞感觉冲动进入视皮层,可以快速下调 BDNF mRNA 表达水平。同样,用生理性刺激,如改变侧脑室渗透压或刺激产生 LTP,可以上调 BDNF mRNA 表达水平。敲除 BDNF 基因鼠,它的 LTP 显著下降<sup>[8]</sup>。而将腺病毒介导的 BDNF 基因转入 BDNF 基因敲除的鼠海马 CA1 区,LTP 又恢复,这些均说明,BDNF 对大脑的可塑性有着十分重要的意义<sup>[8,9]</sup>。

脑缺血时,BDNF 可上调 TrkB 蛋白,防止神经元死亡<sup>[10]</sup>,BDNF 也可直接作用于神经元,防止缺血诱导的神经元死亡<sup>[11,12]</sup>。有研究认为,颈脊神经轴突切断后,BDNF 可以防止红核神经元的萎缩,刺激 GAP43 的表达,促进轴突再生<sup>[13]</sup>。本实验在 MCAO 后,用运动训练刺激,也上调了 BDNF mRNA 水平,得出了类似的结果。而运动 II 组与运动 I 组差异无统计学意义,与对照组差异有统计学意义,说明运动训练停止后,再次治疗仍能有效促进 BDNF mRNA 表达。

按照目前的认识,脑缺血的功能恢复主要包括两个过程:早期恢复主要是水肿的消失,“半暗带区”的保护,中后期的功能恢复主要是轴突的发芽,突触的可塑性等。运动训练诱导 BDNF mRNA 表达增加,增加了神经元的可塑性,有利于神经元的存活,促进了功能恢复。而对照组不运动,功能恢复较运动组差,提示运动训练有效,脑缺血后的功能恢复不仅仅是自然恢复,康复训练的效果更大。

本研究在实验方法上也进行了探讨。选用 C57 BL/6J 小鼠,因其运动能力比其它鼠强,适于进行慢性长期运动实验。跑笼运动方式是一种主动运动方式,易于计算运动量。设计每天运动 1 h,参考了以往抗衰老运动实验。这样可保证运动量

不至于过小,达不到干预目的;同时也不会造成运动量过大,因其不同于耗竭运动,比较符合生理特点。临幊上常常发现,脑卒中患者在出院停止康复训练一段时间后,功能下降,恢复期再次进行运动训练,仍然有效。设计运动 II 组的目的,在于观察脑卒中后恢复期是否存在“第二治疗窗”;时间点的选择,如停止运动 45 d,主要是为了消除前期运动的影响,从经济上考虑,也不能停止太长时间。由于 BDNF mRNA 在脑组织中含量小,本研究采用内参标 RT-PCR 法,定量分析,方法可靠,比传统的 RT-PCR 法进了一步。图 3 中,BDNF 样品 RT-PCR 扩增产物出现污染,但不影响结果。

## 参 考 文 献

- 1 Chen J, Li Y, Chopp M. Intracerebral transplantation of bone marrow with BDNF after MCAO in rat. *Neuropharmacology*, 2000, 39:711-716.
- 2 Kawamoto Y, Nakamura S, Nakano S, et al. Immunohistochemical localization of brain-derived neurotrophic factor in adult rat brain. *Neuroscience*, 1996, 74:1209.
- 3 Zhang Y, Pardridge WM. Conjugation of brain-derived neurotrophic factor to a blood-brain barrier drug targeting system enables neuroprotection in regional brain ischemia following intravenous injection of the neurotrophin. *Brain Res*, 2001, 889:49-56.
- 4 Bederson JB, Pitts LH, Tsuji M, et al. Rat middle cerebral artery occlusion: evaluation of the model and development of a neurologic estimation. *Stroke*, 1986, 17:472-476.
- 5 Hayward AL, Oefner PJ, Sabatini S, et al. Modeling and analysis of competitive RT-PCR. *Nucleic Acids Res*, 1998, 26:2511-2518.
- 6 Ghosh A, Carnahan J, Greenberg ME. Requirement for BDNF in activity-dependent survival of cortical neurons. *Science*, 1994, 263:1618.
- 7 Neeper SA, Gomez-Pinilla F, Choi J, et al. Exercise and brain neurotrophins. *Nature*, 1995, 373:109.
- 8 Andsberg G, Kokaia Z, Klein RL, et al. Neuropathological and behavioral consequences of adeno-associated viral vector-mediated continuous intrastratal neurotrophin delivery in a focal ischemia model in rats. *Neurobiol Dis*, 2002, 9:187-204.
- 9 Chen X, Li Y, Wang L, et al. Ischemic rat brain extracts induce human marrow stromal cell growth factor production. *Neuropathology*, 2002, 22:275-279.
- 10 Ferrer L, Ballabriga J, Martí E, et al. BDNF up-regulates TrkB protein and prevents the death of CA1 neurons following transient forebrain ischemia. *Brain Pathol*, 1998, 8:253-261.
- 11 Wang Y, Chang CF, Morales M, et al. Protective effects of glial cell line-derived neurotrophic factor in ischemic brain injury. *Ann N Y Acad Sci*, 2002, 962:423-437.

(修回日期:2005-07-12)

(本文编辑:松 明)

**欢迎订阅《中华物理医学与康复杂志》**